

УДК 532.5

## ПРИСОЕДИНЕННЫЕ МАССЫ ЦИЛИНДРА, ПЕРЕСЕКАЮЩЕГО ГРАНИЦУ РАЗДЕЛА ДВУХСЛОЙНОЙ НЕВЕСОМОЙ ЖИДКОСТИ КОНЕЧНОЙ ГЛУБИНЫ

И. В. Стурова

Институт гидродинамики им. М. А. Лаврентьева СО РАН, 630090 Новосибирск

Представлены результаты численного решения линейной задачи о высокочастотных колебаниях горизонтального цилиндра, плавающего на границе раздела двухслойной жидкости, методом граничных элементов. Выполнены расчеты присоединенных масс для кругового и эллиптического цилиндров.

**Ключевые слова:** присоединенные массы, двухслойная жидкость, функция Грина, метод гибридных конечных элементов.

**Введение.** При движении тела в вязкой жидкости ее инерционные свойства определяются присоединенными массами. Для тел различной формы, движущихся в однородной жидкости, эти характеристики хорошо изучены и представлены в работе [1]. Наличие плотностной стратификации влияет на величины присоединенных масс, и наиболее полно это влияние изучено для жидкости, состоящей из двух слоев разной плотности. При этом предполагалось, что плавающее или погруженное тело полностью расположено в одном из слоев. Проведенное недавно исследование плоской задачи о гидродинамической качке тела, пересекающего границу раздела [2], выявило существенные трудности использования при ее численном решении метода граничных интегральных уравнений (ГИУ), который наиболее часто применяется при определении гидродинамических нагрузок на тело.

В данной работе численное решение получено с помощью альтернативного метода гибридных конечных элементов (МГКЭ), являющегося достаточно эффективным и универсальным при решении как плоских, так и пространственных задач гидродинамической теории качки.

**Постановка задачи.** Рассматривается идеальная несжимаемая жидкость, состоящая из двух слоев разной плотности. Обе жидкости в горизонтальном направлении считаются неограниченными, а в вертикальном верхний слой ограничен свободной поверхностью, нижний — ровным горизонтальным дном.

Исследуется радиационная задача о движениях в первоначально покоящейся жидкости, вызванных малыми колебаниями тела с высокой частотой. Это равносильно предположению о “невесомости” жидкости, когда ускорения, сообщаемые частицам жидкости при колебаниях тела, значительно превышают ускорение свободного падения. Данное предположение широко используется в теории удара [1].

Колеблущееся тело представляет собой горизонтальный цилиндр бесконечной протяженности, поэтому рассматриваемая задача является плоской.

---

Работа выполнена при частичной финансовой поддержке программы “Ведущие научные школы” Российского фонда фундаментальных исследований (код проекта 00-15-96162).

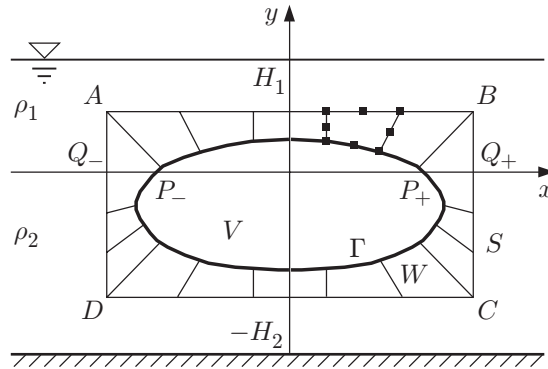


Рис. 1. Схема течения и конечные элементы

В отсутствие тела верхний слой жидкости плотности  $\rho_1$  и толщины  $H_1$  занимает область  $L^{(1)}$  ( $|x| < \infty$ ,  $0 < y < H_1$ ), а нижний слой плотности  $\rho_2 = \rho_1(1 + \varepsilon)$  и толщины  $H_2$  — область  $L^{(2)}$  ( $|x| < \infty$ ,  $-H_2 < y < 0$ ), где  $x$  — горизонтальная,  $y$  — вертикальная координаты. Индексы 1, 2 соответствуют верхнему и нижнему слоям. Погруженное тело, пересекающее границу раздела, занимает область  $V = V^{(1)} \cup V^{(2)}$ . Замкнутый контур тела  $\Gamma = \Gamma^{(1)} \cup \Gamma^{(2)}$  имеет с границей раздела две общие точки  $P_{\pm}$  (рис. 1).

Для определения радиационных потенциалов  $\varphi_j^{(s)}(x, y)$ , соответствующих горизонтальным ( $j = 1$ ), вертикальным ( $j = 2$ ) и крутильным ( $j = 3$ ) колебаниям, необходимо решить следующую краевую задачу (подробнее см., например, [2]):

$$\Delta \varphi_j^{(s)} = 0, \quad (x, y) \in L^{(s)} \setminus V^{(s)} \quad (s = 1, 2)$$

с граничными условиями

$$\varphi_j^{(1)} = 0 \quad (y = H_1); \quad (1)$$

$$\frac{\partial \varphi_j^{(1)}}{\partial y} = \frac{\partial \varphi_j^{(2)}}{\partial y}, \quad \rho_1 \varphi_j^{(1)} = \rho_2 \varphi_j^{(2)} \quad (y = 0); \quad (2)$$

$$\frac{\partial \varphi_j^{(2)}}{\partial y} = 0 \quad (y = -H_2); \quad (3)$$

$$\frac{\partial \varphi_j^{(s)}}{\partial n} = n_j, \quad (x, y) \in \Gamma^{(s)}. \quad (4)$$

В (4)  $n_1$  — горизонтальная компонента внутренней нормали к контуру  $\Gamma$ ;  $n_2$  — вертикальная компонента;

$$n_3 = (y - y_0)n_1 - (x - x_0)n_2 \quad (5)$$

( $x_0, y_0$  — координаты точки, относительно которой совершаются крутильные колебания тела). Вдали от тела следует потребовать затухания движения.

Коэффициенты присоединенных масс  $\mu_{kj}$ , характеризующие инерционные свойства жидкости, определяются следующим образом:

$$\mu_{kj} = \sum_{l=1}^2 \rho_l \int_{\Gamma^{(l)}} \varphi_j^{(l)} n_k ds. \quad (6)$$

**Численный метод.** При решении сформулированной выше задачи для произвольного контура  $\Gamma$  используется МГКЭ, который ранее применялся при решении радиационной задачи для цилиндра, полностью погруженного в нижний слой двухслойной жидкости [3]. В этом методе потенциалы скоростей представляются с помощью конечных элементов в узкой области  $W = W^{(1)} \cup W^{(2)}$ , окружающей тело, и с помощью ГИУ во внешней области. Область  $W$  ограничена извне прямоугольным контуром  $ABCD$ , внутри которого расположено данное тело (рис. 1). Прямоугольный контур обозначим  $S = S^{(1)} \cup S^{(2)}$ . Он пересекает границу раздела в двух точках  $Q_{\pm}$ .

При построении ГИУ необходимо определить функцию Грина  $G^{(s,l)}(x, y; \xi, \eta)$  рассматриваемой задачи, где  $s$  — номер слоя, содержащего точку наблюдения  $(x, y)$ ; источник  $(\xi, \eta)$  помещен в слое с номером  $l$ .

Функция Грина удовлетворяет уравнению

$$\Delta_{x,y} G^{(s,l)} = 2\pi\delta(x - \xi, y - \eta)$$

с граничными условиями, аналогичными (1)–(3), и условием затухания в дальнем поле;  $\delta$  — дельта-функция Дирака.

Функцию Грина можно определить разными способами. В данной работе предлагаются следующие представления:

$$G^{(1,1)} = \ln \frac{r}{r_1} + \int_0^{\infty} \frac{1 + \varepsilon - t_2}{1 + e^{-2kH_1}} [e^{k(\eta-2H_1)} - e^{-k\eta}] [e^{-ky} - e^{k(y-2H_1)}] D(k, x, \xi) dk,$$

$$G^{(2,1)} = 2 \int_0^{\infty} \frac{[e^{k(\eta-2H_1)} - e^{-k\eta}] [e^{ky} + e^{-k(y+2H_2)}]}{(1 + e^{-2kH_1})(1 + e^{-2kH_2})} D(k, x, \xi) dk,$$

$$G^{(1,2)} = 2(1 + \varepsilon) \int_0^{\infty} \frac{[e^{-k(\eta+2H_2)} + e^{k\eta}] [e^{k(y-2H_1)} - e^{-ky}]}{(1 + e^{-2kH_1})(1 + e^{-2kH_2})} D(k, x, \xi) dk,$$

$$G^{(2,2)} = \ln \frac{r}{r_2} + \int_0^{\infty} \frac{D(k, x, \xi) dk}{1 + e^{-2kH_2}} \{ e^{-k(\eta+H_2)} (e^{2k\eta} - 1) \times$$

$$\times [(1 + \varepsilon + t_1)e^{-k(y+H_2)} - (1 + \varepsilon - t_1)e^{k(y-H_2)}] - 2t_1 e^{k\eta} [e^{ky} + e^{-k(y+2H_2)}] \},$$

где

$$r = \sqrt{(x - \xi)^2 + (y - \eta)^2}, \quad r_1 = \sqrt{(x - \xi)^2 + (y + \eta - 2H_1)^2},$$

$$r_2 = \sqrt{(x - \xi)^2 + (y + \eta)^2}, \quad t_1 = \text{th } kH_1, \quad t_2 = \text{th } kH_2,$$

$$D(k, x, \xi) = \cos k(x - \xi) / [k(1 + \varepsilon + t_1 t_2)].$$

Для безграничной двухслойной жидкости ( $H_1, H_2 \rightarrow \infty$ ) функция Грина имеет простой вид [2]

$$G^{(1,1)} = \ln r + e_1 \ln r_2, \quad G^{(2,1)} = (1 - e_1) \ln r,$$

$$G^{(1,2)} = (1 + e_1) \ln r, \quad G^{(2,2)} = \ln r - e_1 \ln r_2, \quad e_1 = \varepsilon / (2 + \varepsilon).$$

Вывод системы ГИУ аналогичен приведенному в работе [4]. Для рассматриваемой задачи эта система принимает вид

$$\rho_m \varphi_j^{(m)}(\zeta) = \frac{1}{\alpha} \sum_{l=1}^2 \rho_l \int_{S^{(l)}} \left[ \varphi_j^{(l)}(z) \frac{\partial G^{(l,m)}(z, \zeta)}{\partial n_z} - G^{(l,m)}(z, \zeta) \frac{\partial \varphi_j^{(l)}}{\partial n} \right] ds \quad (m = 1, 2),$$

$$z = x + iy, \quad \zeta = \xi + i\eta. \quad (7)$$

При обходе контура  $W$  против часовой стрелки  $\alpha = 3\pi/2$  для угловых точек  $A, B, C, D$  и  $\alpha = \pi$  для всех остальных точек.

При использовании МГКЭ область  $W$  покрывается четырехугольными элементами (рис. 1). При этом отрезки  $Q_+B$  и  $Q_-A$  разбиваются на NY1 равных частей, отрезки  $CQ_+$  и  $DQ_-$  — на NY2 частей, а отрезки  $AB$  и  $DC$  — на NX частей; отрезки  $P_+Q_+$  и  $Q_-P_-$  являются границами элементов.

Используя теорему Грина, получим

$$\sum_{l=1}^2 \left[ \iint_{W^{(l)}} \nabla \varphi_j^{(l)} \nabla \psi \, dx \, dy - \int_{S^{(l)}} \frac{\partial \varphi_j^{(l)}}{\partial n} \psi \, ds \right] = \sum_{l=1}^2 \int_{\Gamma^{(l)}} \frac{\partial \varphi_j^{(l)}}{\partial n} \psi \, ds, \quad (8)$$

где  $\psi(x, y)$  — произвольно выбранная весовая функция. Для каждого элемента вводятся восьмиточечные квадратичные изопараметрические функции формы  $N_k$  ( $k = 1, \dots, 8$ ). Производные  $\partial \varphi_j^{(l)}/\partial n$  в правой части уравнения (8) известны из граничного условия (4), в левой части определяются из системы ГИУ (7) на  $S$ . С использованием аналога функций формы  $N_k$  для одномерного случая из (7) находится в матричной форме связь между векторами  $\Phi_j$  с компонентами  $\varphi_j^{(l)}$  и  $\Psi_j$  с компонентами  $\partial \varphi_j^{(l)}/\partial n$  в узлах контура  $S$

$$A\Phi_j = B\Psi_j,$$

где  $A, B$  — квадратные матрицы размерности  $2M$ ;  $M = 2(\text{NY1} + \text{NY2} + \text{NX})$  — количество элементов в области  $W$ . Из этого соотношения можно найти

$$\Psi_j = C\Phi_j, \quad C = B^{-1}A$$

и использовать эту зависимость в соответствующей дискретной форме (8), взяв в качестве  $\psi$  функции  $N_k$ .

В итоге для каждого значения  $j = 1, 2, 3$  следует решить систему линейных уравнений порядка  $5M$  для определения значений  $\varphi_j^{(l)}$  во всех узловых точках. Преимуществом МГКЭ является то, что интегрирование по контуру тела, форма которого может быть достаточно сложной, заменяется в (7) интегрированием по границе прямоугольника, которое можно выполнить аналитически. Гидродинамическая нагрузка определяется после вычисления интегралов в (6).

**Результаты расчетов.** Численные расчеты проведены для эллиптического контура

$$x^2/a^2 + (y+h)^2/b^2 = 1,$$

где  $a, b$  — большая и малая полуоси эллипса соответственно;  $h$  — глубина погружения его центра, отсчитываемая от поверхности раздела. Во всех приведенных расчетах ширина прямоугольного контура  $S$  равна  $2a + 0,4b$ , высота  $2,4b$ .

Известно, что для контура, симметричного относительно вертикальной оси  $y$ , отличными от нуля являются только коэффициенты присоединенной массы  $\mu_{jj}$  ( $j = 1, 2, 3$ ) и  $\mu_{13}$ . Безразмерные значения этих коэффициентов нормированы следующим образом:

$$(M_{11}, M_{22}) = (\mu_{11}, \mu_{22})/(\pi\rho_2 b^2), \quad M_{33} = \mu_{33}/(\pi\rho_2 b^4), \quad M_{13} = \mu_{13}/(\pi\rho_2 b^3).$$

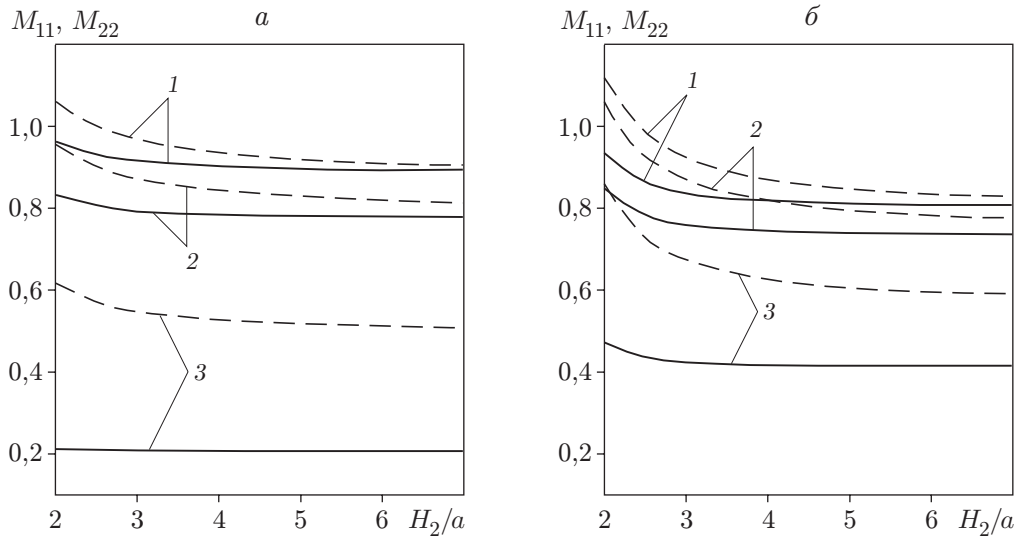


Рис. 2. Зависимость присоединенных масс  $M_{11}$  (сплошные кривые) и  $M_{22}$  (штриховые) от глубины нижнего слоя для кругового цилиндра:  
 $a$  —  $h = 0$ ,  $H_1/a = 2$ ;  $b$  —  $h/a = 0,5$ ,  $H_1/a = 1$ ; 1 —  $\varepsilon = 0$ , 2 —  $\varepsilon = 0,3$ , 3 —  $\varepsilon = \infty$

$\varepsilon$	$h/b = 0,5$				$h = 0$			
	$M_{11}$	$M_{22}$	$M_{33}$	$M_{13}$	$M_{11}$	$M_{22}$	$M_{33}$	$M_{13}$
$\infty$	0,386	2,236	0,631	0,373	0,203	2,001	0,562	0,318
0,3	0,898	3,617	1,021	0,072	0,875	3,537	0,994	0,073
0	1,000	3,999	1,123	0	1,000	3,999	1,123	0

На рис. 2 показаны зависимости коэффициентов  $M_{11}$  и  $M_{22}$  для кругового цилиндра ( $a = b$ ) от глубины нижнего слоя  $H_2$ . При  $h = 0$  в численном решении использованы значения  $NX = 6$ ,  $NY1 = 3$ ,  $NY2 = 3$  (число элементов  $M = 24$ ), при  $h = 0,5b$  — значения  $NX = 7$ ,  $NY1 = 2$ ,  $NY2 = 5$  ( $M = 28$ ). В отсутствие стратификации ( $\varepsilon = 0$ ) задача сводится к определению присоединенных масс полностью погруженного цилиндра. Эта задача достаточно подробно изучена (см., например, [1]). Известно, что при  $H_2 \rightarrow \infty$   $M_{11} = M_{22}$ . При  $\varepsilon \rightarrow \infty$  исходная задача соответствует определению присоединенных масс тела, плавающего на свободной поверхности однородной жидкости. Случай вертикальных колебаний полукруга, плавающего на поверхности жидкости конечной глубины, рассмотрен в [5]. Сопоставление табличных значений для  $M_{22}$ , приведенных в [5], с результатами предлагаемого метода показало их соответствие с точностью до 0,5 %.

Предельные значения  $M_{11}$  и  $M_{22}$  при  $H_1, H_2 \rightarrow \infty$  для рассматриваемых глубин погружения кругового цилиндра и значений скачка плотности  $\varepsilon$  приведены в [2].

Расчеты для эллиптического контура ( $a/b = 2$ ) представлены на рис. 3 при  $h = 0$ ,  $H_1 = 2b$  и на рис. 4 при  $h = 0,5b$ ,  $H_1 = b$ . Крутильные колебания совершаются относительно геометрического центра эллипса, т. е. в (5)  $x_0 = 0$ ,  $y_0 = -h$ .

В численных расчетах при  $h = 0$  полагалось  $NX = 12$ ,  $NY1 = 3$ ,  $NY2 = 3$  ( $M = 36$ ), при  $h = 0,5b$  —  $NX = 14$ ,  $NY1 = 2$ ,  $NY2 = 5$  ( $M = 42$ ). Предельные значения коэффициентов присоединенных масс при  $H_1, H_2 \rightarrow \infty$  для данного эллиптического контура приведены в таблице.

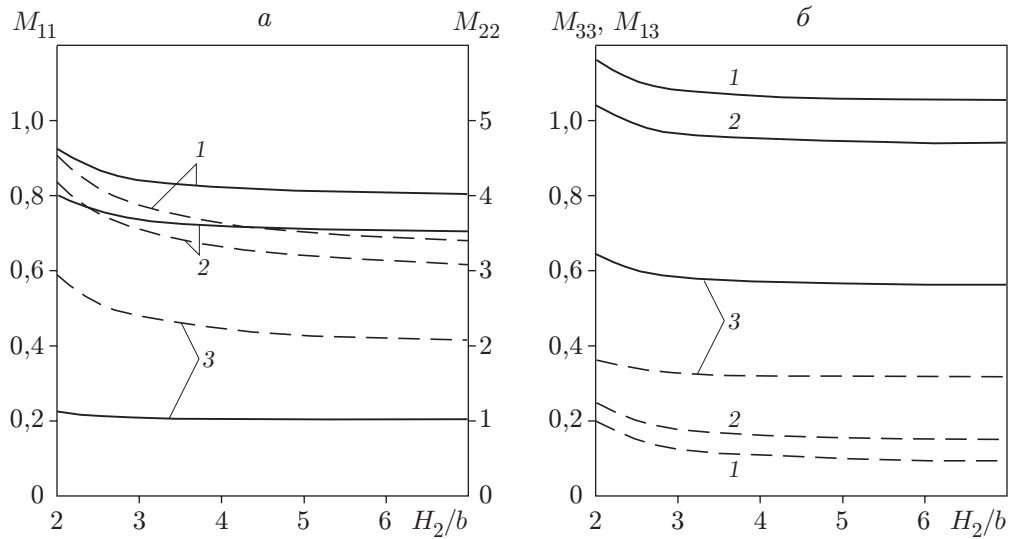


Рис. 3. Зависимость присоединенных масс от глубины нижнего слоя для эллиптического цилиндра при  $a/b = 2$ ,  $h = 0$ ,  $H_1/b = 2$ : сплошные кривые —  $M_{11}$ ,  $M_{33}$ ; штриховые —  $M_{22}$ ,  $M_{13}$ ; 1 —  $\epsilon = 0$ , 2 —  $\epsilon = 0,3$ , 3 —  $\epsilon = \infty$

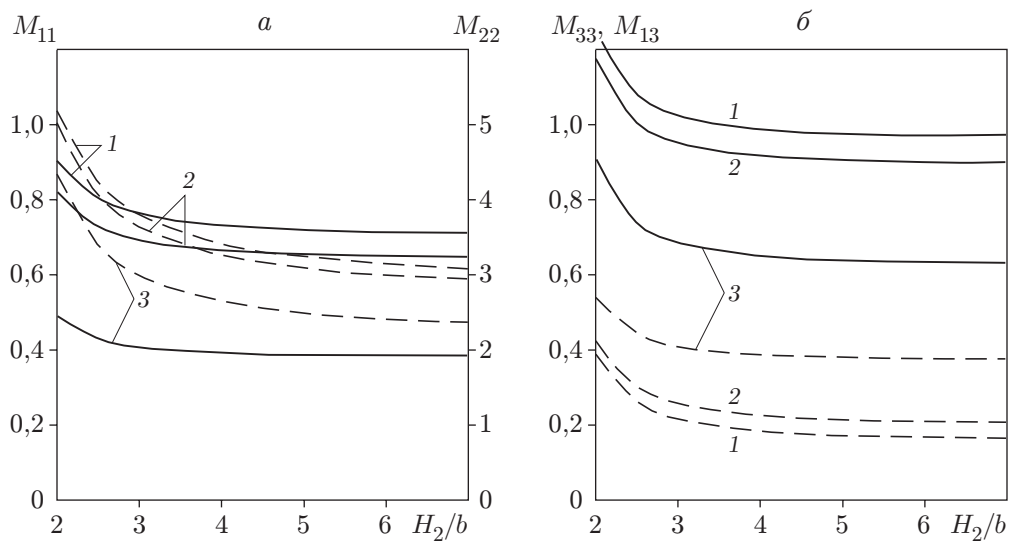


Рис. 4. Зависимость присоединенных масс от глубины нижнего слоя для эллиптического цилиндра при  $a/b = 2$ ,  $h/b = 0,5$ ,  $H_1/b = 1$  (обозначения те же, что на рис. 3)

Известно, что для полуэллипса, плавающего на свободной поверхности однородной жидкости бесконечной глубины [6],

$$\mu_{11} = 2\rho_2 b^2/\pi, \quad \mu_{22} = \pi\rho_2 a^2/2, \quad \mu_{33} = \pi\rho_2(a^2 - b^2)^2/16, \quad \mu_{13} = \rho_2 b(a^2 - b^2)/3.$$

Тогда при заданном удлинении эллипса ( $a/b = 2$ ) получаем следующие значения для присоединенных масс:

$$M_{11} \approx 0,203, \quad M_{22} = 2, \quad M_{33} \approx 0,563, \quad M_{13} \approx 0,318,$$

которые не более чем на 0,2 % отличаются от значений соответствующих коэффициентов, приведенных в таблице при  $h = 0$  и  $\varepsilon = \infty$ . Такая же погрешность имеет место при  $\varepsilon = 0$ , что соответствует колебаниям эллипса в безграничной однородной жидкости. В этом случае отличными от нуля являются только диагональные коэффициенты

$$\mu_{11} = \pi\rho_1 b^2, \quad \mu_{22} = \pi\rho_1 a^2, \quad \mu_{33} = \pi\rho_1(a^2 - b^2)^2/8,$$

следовательно, для данного эллипса  $M_{11} = 1$ ,  $M_{22} = 4$ ,  $M_{33} = 1,125$ .

Представленные результаты показывают, что влияние конечных толщин слоев является существенным. В [1] отмечено, что при колебаниях тела, плавающего на свободной поверхности однородной жидкости конечной глубины  $H$ , влияние дна практически отсутствует при  $H \geq 4T$  ( $T$  — осадка тела). В рассматриваемой двухслойной жидкости влияние конечных размеров слоев несущественно, если аналогичное условие выполняется как в верхнем, так и в нижнем слое. Уменьшение плотности верхнего слоя, т. е. увеличение  $\varepsilon$ , приводит к уменьшению диагональных коэффициентов присоединенных масс  $M_{jj}$  ( $j = 1, 2, 3$ ) и увеличению коэффициента  $M_{13}$ .

## ЛИТЕРАТУРА

1. **Короткин А. И.** Присоединенные массы судна: Справ. Л.: Судостроение, 1986.
2. **Мотыгин О. В., Стурова И. В.** Волновые движения в двухслойной жидкости, вызванные малыми колебаниями цилиндра, пересекающего границу раздела // Изв. РАН. Механика жидкости и газа. 2002. № 4. С. 105–119.
3. **Стурова И. В.** Плоская задача о гидродинамической качке погруженного тела без хода в двухслойной жидкости // Изв. РАН. Механика жидкости и газа. 1994. № 3. С. 144–155.
4. **Klimenko A. V.** The two-dimensional Neumann — Kelvin problem for an interface-intersecting body in a two-layer fluid // Day on diffraction: Proc. of the Intern. seminar, St. Petersburg, June 1–3, 1999. St. Petersburg: S. n., 1999. P. 103–112.
5. **Vai K. J.** The added mass of two-dimensional cylinders heaving in water of finite depth // J. Fluid Mech. 1977. V. 81, pt 1. P. 85–105.
6. **Хаскинд М. Д.** Гидродинамическая теория качки корабля. М.: Наука, 1973.

*Поступила в редакцию 10/XII 2002 г.*